

крови, содержания глюкозы в плазме крови и эритроцитах больных сахарным диабетом.

Обследованы 84 пациента с сахарным диабетом в возрасте от 17 до 72 лет. Длительность заболевания составила от одного мес до 18 лет. Диабет первого типа диагностирован у 31 больного, второго — у 53. В контрольную группу вошли 22 здоровых человека. Больных обследовали в фазе декомпенсации диабета и нормализации обменных процессов.

Установлено, что в эритроцитах больных сахарным диабетом уровень глюкозы значительно выше, чем в плазме крови. При сахарном диабете первого типа содержание глюкозы в плазме крови составляло  $9,50 \pm 0,10$  ммоль/л, в эритроцитах —  $10,0 \pm 0,09$  ( $P < 0,001$ ), второго типа — соответственно  $8,00 \pm 0,03$  ммоль/л и  $16,5 \pm 0,05$  ( $P < 0,001$ ). Уровень иммунореактивного инсулина в плазме крови больных сахарным диабетом второго типа имел тенденцию к снижению ( $P < 0,05$ ). У больных инсулинозависимым сахарным диабетом активность ГК была значительно повышена, в то время как при втором типе прослеживалась тенденция к ее снижению —  $0,0066 \pm 0,001$  мкмоль/(мг·мин) ( $P < 0,001$ ) и  $0,0038 \pm 0,006$  мкмоль/(мг·мин) ( $P < 0,05$ ). При первом типе без выявленных сосудистых осложнений активность ПК составила  $0,009 \pm 0,0007$  мкмоль/(мг·мин) ( $P < 0,05$ ), ЛДГ —  $0,018 \pm 0,002$  мкмоль/(мг·мин) ( $P < 0,05$ ), Г-6-ФДГ —  $0,0032 \pm 0,0007$  мкмоль/(мг·мин) ( $P < 0,001$ ). Прогрессирование диабетической анигиопатии сопровождалось повышением активности ГК ( $0,013 \pm 0,003$  мкмоль/(мг·мин) ( $P < 0,001$ ) и ГК с  $0,010 \pm 0,001$  мкмоль/(мг·мин) ( $P < 0,05$ ) до  $0,027 \pm 0,004$  мкмоль/(мг·мин) ( $P < 0,001$ ), ЛДГ ( $0,0037 \pm 0,007$  мкмоль/(мг·мин);  $P < 0,001$ ), Г-6-ФДГ ( $0,012 \pm 0,001$  мкмоль/(мг·мин);  $P < 0,001$ ).

При прогрессировании диабетической анигиопатии у больных инсулиновозависимым сахарным диабетом отмечаются выраженное повышение активности ГК ( $P < 0,001$ ), ПК ( $P < 0,001$ ), общей активности ЛДГ ( $P < 0,001$ ), Г-6-ФДГ ( $P < 0,001$ ) и сдвиг изоферментного спектра ЛДГ в сторону катодной фракции. При сравнении изоферментного спектра ЛДГ у больных сахарным диабетом второго типа с диагностированной макроangiопатией процентное соотношение ЛДГ было следующим: ЛДГ<sub>1</sub> —  $39,27 \pm 2,59$  ( $P < 0,05$ ), ЛДГ<sub>2</sub> —  $36,15 \pm 2,38$  ( $P > 0,05$ ), ЛДГ<sub>3</sub> —  $6,02 \pm 0,74$  ( $P < 0,001$ ), ЛДГ<sub>4</sub> —  $18,65 \pm 1,01$  ( $P < 0,001$ ).

В мембранах эритроцитов больных при первом типе активность общей АТФазы снижается, что более выражено при диабетических анигиопатиях (соответственно  $0,45 \pm 0,019$  и  $0,29 \pm 0,0024$  мкмоль·Ф<sub>н</sub>·мг<sup>-1</sup>·ч<sup>-1</sup>;  $P < 0,001$ ). Прогрессирование диабетических сосудистых нарушений при инсулиновозависимом сахарном диабете сопровождается некоторым повышением активности общей АТФазы ( $0,73 \pm 0,018$  мкмоль·Ф<sub>н</sub>·мг<sup>-1</sup>·ч<sup>-1</sup>;  $P > 0,05$ ). В тенях эритроцитов больных сахарным диабетом первого типа и генерализованной анигиопатией активность Mg<sup>2+</sup>-зависимой АТФазы составила  $0,25 \pm 0,024$  мкмоль·Ф<sub>н</sub>·мг<sup>-1</sup>·ч<sup>-1</sup> ( $P < 0,001$ ), второго типа —  $0,69 \pm 0,025$  мкмоль·Ф<sub>н</sub>·мг<sup>-1</sup>·ч<sup>-1</sup>. Значительное угнетение активности Na<sup>+</sup>, K<sup>+</sup>-зависимой АТФазы наблюдалось при диабетических анигиопатиях (при первом типе —  $0,03 \pm 0,005$ ,  $P < 0,001$ ; втором типе —  $0,04 \pm 0,008$ ,  $P < 0,001$ , а у больных без выявленных сосудистых нарушений — соответственно  $0,32 \pm 0,003$  и  $0,05 \pm 0,006$  мкмоль·Ф<sub>н</sub>·мг<sup>-1</sup>·ч<sup>-1</sup>.

Таким образом, полученные результаты свидетельствуют о том, что при сахарном диабете, особенно, прогрессировании диабетической анигиопатии происходят активация ряда ключевых ферментов гликолиза, одного из ключевых ферментов пентозофосфатного пути, угнетение активности мембранные связанный Na<sup>+</sup>, K<sup>+</sup>-зависимой АТФазы и увеличение содержания в эритроцитах глюкозы.

При сахарном диабете проницаемость клеточных мембран, в том числе эритроцитарных, повышается, что может способствовать свободному поступлению глюкозы в клетки и согласуется с полученными нами данными. Можно предположить, что инсулин стимулирует транспорт глюкозы в эритроциты из плазмы, как это наблюдается в других типах клеток. Метаболические эффекты инсулина могут первично реализоваться на мембране эритроцитов без обязательной интернализации гормона.

Следовательно, в эритроцитах больных сахарным диабетом содержание глюкозы значительно выше, чем в плазме крови. В мембранах эритроцитов больных сахарным диабетом активность АТФазы и, особенно, Na<sup>+</sup>, K<sup>+</sup>-зависимой АТФазы угнетена. Прогрессирование диабетической анигиопатии сопровождается более выраженным снижением активности АТФазы.

УДК 616.366—002.1—073.48

**В. Г. Сахаутдинов, О. В. Галимов, Е. И. Сендерович, Н. М. Макарьева, Э. Н. Праздников (Уфа). Ультразвуковое исследование в диагностике острого холецистита**

В настоящее время ультразвуковому исследованию (УЗИ) уделяется большое внимание в распознавании острых хирургических заболеваний брюшной полости. Это объясняется его безопасностью, неинвазивностью, коротким и необременительным для больного периодом исследования, а главное, высокой информативностью и возможностью динамического контроля с его помощью без существенных поправок на состояния больного.

По результатам УЗИ, проведенного в клинике 891 больному с острым холециститом, мы оценивали его эффективность в распознавании данной патологии. УЗИ выполняли аппаратом фирмы «Toshiba» (Япония) датчиками 3, 5 и 5 МГц по стандартизированной методике. Острый холецистит был подтвержден при УЗИ у 820 пациентов: у 678 из них он был калькулезным, у 142 — бескаменным. У 71 больного данных, свидетельствовавших о наличии воспаления желчного пузыря, не обнаружено, однако при дополнительном исследовании у них были выявлены другие заболевания (панкреатит, язвенная болезнь двенадцатиперстной кишки, гастроудоденит и др.).

При ультразвуковой диагностике острого холецистита обращали внимание на форму, размеры желчного пузыря, толщину его стенок, наличие в его проекции гиперхоструктур. Конкременты в полости желчного пузыря визуализировались на экране в виде четких эхогеновых образований, за которыми следовала акустическая дорожка за счет массивного отражения ультразвукового сигнала от конкрементов. При распространении воспалительного процесса за пределы желчного пузыря контуры его сливались с окружающими тканями и переставали дифференцироваться. Появление зоны с повышенной эхогенностью вокруг желчного пузыря, выявленной в 93 наблюдениях, свидетельствовали о вовлечении в воспалительный процесс

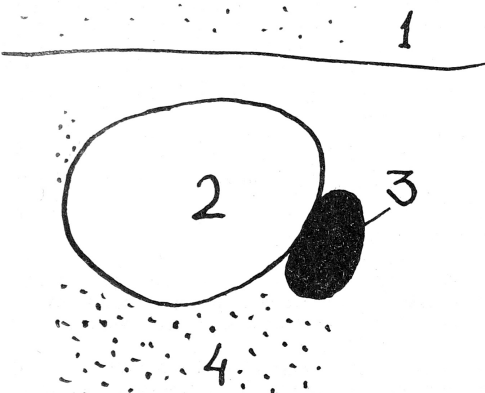
окружающих тканей и формировании перипузырного инфильтрата. У 12 больных вокруг расплывчатых стенок желчного пузыря были видны полосатые образования, что указывало на абсцедирование перипузырного инфильтрата.

В ряде наблюдений кроме симптомов острого холецистита выявились признаки желчной гипертензии (дилатация внутривеночных желчных протоков и холедоха), холедохолитиаза (эхоплотные структуры с акустической тенью в просвете холедоха), острого панкреатита (увеличение размеров поджелудочной железы с изменением ее эхогенности), что позволяло существенно дополнить ультразвуковое заключение.

Возможности УЗИ при такой интерпретации его результатов демонстрируют следующее наблюдение.

Г., 45 лет, поступил в клинику с жалобами на боли в грудной клетке, правой половине живота, гипертермию до 38°. Болен в течение 2 нед, лечился в поликлинике по поводу хронического бронхита — состояние не улучшилось, походил на 9 кг. В анамнезе — цирроз печени после перенесенного в детстве вирусного гепатита. Рентгенография органов грудной клетки и брюшной полости, а также фиброэндоскопия пищеварительного тракта патологии не показали. Печень выступает из-под реберной дуги на 3 см, в проекции желчного пузыря определяется болезненное об разование 10×10 см; симптомов раздражения брюшины нет. При лабораторных анализах отклонений от нормы не выявлено.

При УЗИ печень уплотнена, структура ее однородна; обращал на себя внимание увеличенный желчный пузырь размерами 10×7 см. Его стенки были утолщены до 7 мм; рядом со стенкой желчного пузыря визуализировалось эхонегативное перипузырное образование (см. рис.).



Эхосонограмма больного Г. I — брюшная стенка, 2 — желчный пузырь, 3 — перипузырный абсцесс, 4 — перипузырный инфильтрат.

Диагноз: острый деструктивный бескаменный холецистит, перипузырный абсцесс, цирроз печени.

Больного экстренно прооперировали. Были обнаружены острый бескаменный гангренозный холецистит и перипузырный абсцесс; подтвержден цирроз печени. Произведена холецистэктомия. Послеоперационный период протекал гладко.

С целью достоверной верификации данных, выявляемых при УЗИ, нами проведено их сопоставление с операционными и лапароскопическими данными у 509 больных, прооперированных по

поводу острого холецистита. Совпадение диагнозов было установлено в 99,2% случаев.

УДК 616.453.72—008.61—089.87—031.5:611.451

**А. А. Кипенский, Т. Я. Салихов (Казань). Двусторонняя адреналектомия при болезни Иценко — Кушинга**

Мы располагаем личным опытом выполнения 36 операций на надпочечниках у 31 больного, которые были произведены с 1971 по 1988 г. 5 больным (2 мужчинам и 3 женщинам в возрасте от 21 до 36 лет) с болезнью Иценко — Кушинга осуществлены двусторонние тотальные поэтапные адреналектомии с аутотрансплантацией 2—4 кусочков надпочечников в подкожную клетчатку.

Все больные обратились за медицинской помощью по поводу стойкой гипертонии, причем лечение гипотензивными препаратами было неэффективным. Кроме того, ими было отмечено постепенное изменение внешности в течение 2—3 лет (при кортикостеромах нарастание симптомов гиперкортицизма бывает более прогрессивным).

Больные были обследованы в эндокринологическом отделении, где был установлен окончательный диагноз. Особую важность в дифференциальной диагностике болезни Иценко — Кушинга и синдрома Кушинга имела проба с дексаметазоном — препаратом, оказывающим тормозящее действие на гипофиз. Во всех случаях при болезни Иценко — Кушинга содержание 17-ОКС в моче было уменьшено, в то время как у больных с синдромом Кушинга (при кортикостеромах) их уровень оставался прежним.

Операции проводили в два этапа под эндо-трахеальным наркозом поясничным доступом. На первом этапе производили правостороннюю адреналектомию как технически более сложную (близость нижней полой вены, короткая центральная вена надпочечника). Особенность первого этапа — медленное заживание раны на фоне гиперпродукции глюкокортикоидов оставшимся надпочечником и стероидного диабета. Каких-либо изменений в состоянии больных после первого этапа не происходило (и не могло произойти!), и они оттягивали производство второго этапа под различными предлогами. После проведения второго этапа (левосторонней тотальной адреналектомии и имплантации кусочков надпочечника в подкожную клетчатку) назначали незамедлительно заместительную терапию вначале гидрокортизоном по 75—100 мг 6 раз в сут с постепенным снижением и переходом к 9—10-ым суткам на преднизолон в дозе 15—20 мг в сут, а к выпадке — по 10—15 мг.

Все больные были выписаны из стационара под наблюдение эндокринолога. В течение года у них уменьшилась масса тела, нормализовалась внешность, снизилось до нормы АД; у женщин появились менструации; один из мужчин женился, и в семье родился здоровый ребенок.

Одна больная была прооперирована 15 лет тому назад. В доступной литературе мы не встретили описания больных с болезнью Иценко — Кушинга после двусторонней тотальной адреналектомии на таких поздних сроках после операции и поэтому приводим наше наблюдение.

Х., 1946 года рождения, впервые обратилась в поликлинику в 1973 г. с жалобами на изменение внешности и гипертонию. В 1974 г. у нее была заподозрена болезнь Иценко — Кушинга; диагноз был подтвержден в эндокринологическом отделении. От предложенной операции больная отказала-